

일반논문-07-12-1-01

DVB-S2 전송시스템의 수신성능 분석: BC 모드

도 근 창^{a)}, 손 원^{b)†}, 장 대 익^{c)}

Analysis of Receiving Performance for DVB-S2 Transmission System: BC Mode

Geunchang Do^{a)}, Won Sohn^{b)†}, and Dae-Ig Chang^{c)}

요 약

이 연구는 DVB-S2 전송시스템의 수신성능을 BC(Backward Compatibility) 모드에서 분석하였다. 송신기는 DVB-S(HP)와 DVB-S2(LP) 스트림을 계층적 비균등 8PSK로 변조시킨 신호를 전송하며, 수신기는 계층적 변조 신호를 복조하기 위하여 LSB에서 MSB 순으로 복조하는 방식과 사분면 추정지수와 LLR 계산기를 이용한 계층적 복조방식을 적용할 수 있다. 두 복조방식에 대한 성능분석을 AWGN 및 비선형 채널에서 통계적 분석과 모의실험을 통하여 수행하였으며, 이 결과를 바탕으로 국내위성방송 환경에 적합한 LP/HP 스트림 비율을 제시하였다.

Abstract

We analyzed the receiving performance of the DVB-S2 transmission system in the BC(Backward Compatibility) mode. The transmitter employs the hierarchical modulation, and the receiver can be implemented by the direct demodulation or the hierarchical demodulation. The performance of each demodulation scheme is analyzed by a statistical method and a computer simulation for the AWGN and nonlinear channels. The ratio of the LP/HP streams which is proper in the domestic satellite broadcasting environments, is also suggested.

Keywords : DVB-S2, Backward Compatibility Mode, hierarchical demodulation

I. 서 론

DVB-S^[1]와 DVB-DSNG^[2] 표준이 만들어진 아래로 디지털 변조와 채널부호화 기법에 대한 많은 발전이 있었다.

a) LG전자
LG Electronics

b) 경희대학교
Kyung Hee University

c) 한국전자통신연구원
ETRI

† 교신저자 : 손원(wsohn@khu.ac.kr)
※ 이 연구는 경희대학교가 지원하였습니다.

이러한 발전은 위성방송 서비스의 용량 증가와 전력효율 이익을 제공할 수 있으며, 이러한 요구에 DVB에서는 주어진 대역폭과 가용도 또는 서비스 영역에서 데이터 처리량 증가를 목적으로 하는 DVB-S2 시스템 표준화를 시작하였다.^[3] 변조 방식으로는 기존의 QPSK 방식에 고차원 APSK 계열을 추가하였으며, 채널코딩 방식으로는 BCH 코드와 샤논 한계점으로부터 0.7~1.1dB 높은 값에서 QEF(Quasi Error Free)로 동작하는 LDPC 코드를 연접부호화 하여 고신뢰 전송을 가능하게 하였다. 이로 인하여 HDTV와 같은 광대역 신규 서비스 제공, 채널 적응형 기법

에 의한 강우감쇠 대책 마련, 통신·방송 융합에 따른 양방향 방송 서비스 제공이 가능하게 되었다.

DVB-S2를 이용한 새로운 위성방송 서비스를 순조롭게 제공하기 위해서는 현재 서비스중인 많은 수의 DVB-S 수신기를 고려한 역방향 호환성이라는 문제를 해결해야 한다. 새로운 DVB-S2 송신기는 DVB-S 수신기가 서비스를 지속적으로 수신할 수 있는 역방향 호환 선택사양을 가져야 한다.

기존의 DVB-S 송신국에 DVB-S2 BC 모드를 적용하기 위한 방식으로는 계층적 변조방식과 layered 변조방식이 제안되고 있다.^[4] 계층적 변조방식은 두 개의 전송 스트림의 동기를 맞추어 비균등 8-PSK 성상도상에서 심볼 레벨로 합치는 방식이며, layered 변조방식은 DVB-S와 DVB-S2 신호를 RF 주파수 상에서 비동기적으로 합치는 방식이다. 계층적 변조방식의 수신신호처리를 위한 복조방식으로는 일반적 복조기^[5]와 계층적 복조기^[3]가 있으며, layered 변조방식의 수신신호처리를 위한 복조방식으로는 재변조 상층신호를 이용하여 하층신호를 복조하는 layered 변조 수신방식이 있다^[3]. 이 논문에서는 계층적 변조방식에 대하여 중점을 두었으며, 계층적 8-PSK 변조신호에 대한 수신신호처리를 중심으로 기술하였다. 두 방식의 통계적 분석 및 모의실험을 통하여 DVB-S2 BC 모드의 수신성능을 분석하였으며, 계층적 변조신호의 편각에 따른 수신성능을 분석하였다.

II장에서는 계층적 변조방식을 소개하였고, III장에서는 DVB-S2 BC 모드 수신을 위한 일반적 복호기와 계층적 복호기에 대한 기술과 통계적 성능분석을 하였다. VI장에서는 두 복호방식에 대한 모의실험과 계층적 변조신호의 편각에 따른 모의실험 결과를 분석하였으며, V장에서는 국내 위성방송 환경에 적합한 LP/HP 스트림 비율을 제시하였다. 끝으로 VI장에서는 모의실험 결과를 바탕으로 본문의 결론을 맺는다.

II. 계층적 8-PSK 변조방식

DVB-S2 BC 모드에서는 (그림 1)과 같이 두 가지의 전송스트림을 한 개의 위성채널로 보내는데, 첫 번째는 DVB-S와 DVB-S2 수신기를 위한 HP(High Priority)스트림이고 다른 하나는 DVB-S2 수신기만을 위한 LP(Low Priority) 스트림이다. 기존의 DVB-S 송신국에서 두 개의 스트림을 전송하는 BC 모드를 적용하기 위한 방식으로 계층적 변조방식이 제안되었다.^[4]

계층적 변조는 다해상도 성상도 방식에 의하여 전송될 신호를 두 개의 해상도로 나누어 전송하는 방식이다. 이러한 방식은 잡음이나 간섭 및 여러 가지 수신 시나리오를

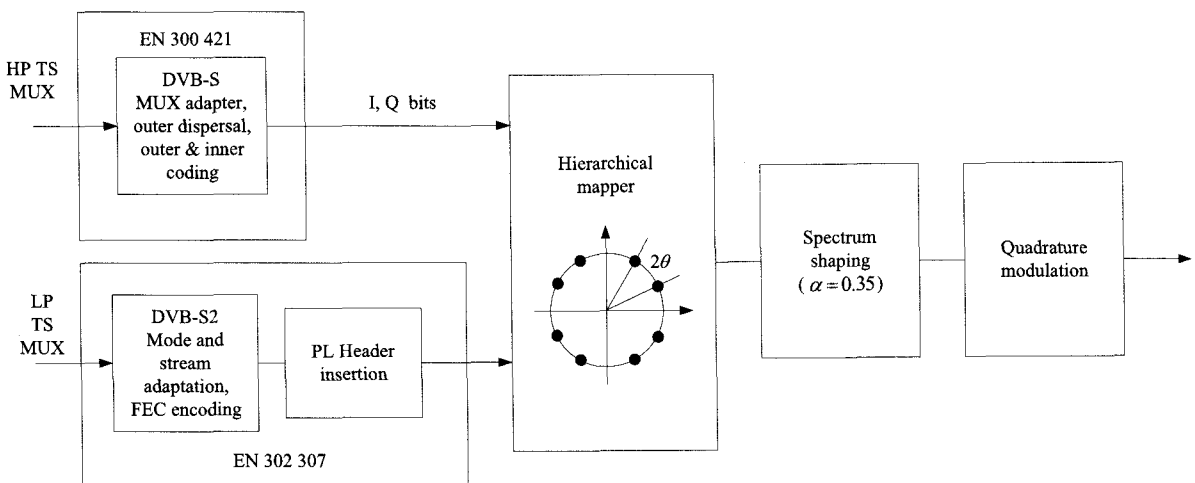


그림 1. 계층적 역방향 호환 DVB-S2 시스템의 기능적 블록도

Fig. 1. Functional block diagram of hierarchical backward compatible DVB-S2 system.

위해 서로 다른 오류 보호를 제공하며, DVB-T^[6] 표준에서도 사용되고 있다. DVB-S2에 적용된 계층적 변조방식은 기존 수신기와 호환하는 스트림에 강인한 오류보호를 적용 하며, DVB-S2 수신기만이 수신할 수 있는 스트림에 낮은 오류보호를 적용하여 전송하는 방식이다. 전송시스템은 두 개의 가지로 구성되어 있는데, 첫 번째 가지는 수신 심볼의 사분면을 구별하는 I, Q 비트를 생성하는 HP 계층을 위하여, 이는 DVB-S 표준을 따른다. 두 번째 가지는 비균등 8-PSK 성상도의 차원을 증가시키는 LP 계층을 위한 것이다. (그림 2)는 이러한 특성을 이용하여 만들어진 비균등 8-PSK 성상도를 보여준다.

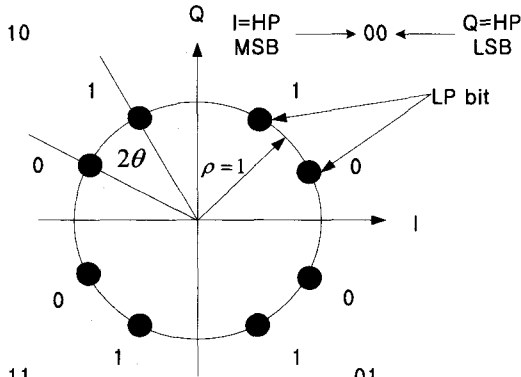


그림 2. 비균등 8-PSK 성상도

Fig. 2. Non-uniform 8PSK constellation

LP TS MUX 신호는 DVB-S2 전송 체인으로 들어가며 전송 체인은 Mode and Stream Adaptation, FEC encoding, PL Header insertion으로 구성되며 다음과 같은 기능을 수행한다. 계층적 맵핑은 (그림 2)와 같이 세 비트를 한 개의 심볼로 맵핑한다. 두 개의 비트는 DVB-S 블록으로부터 온 것이며 이는 사분면을 결정하고, DVB-S2 블록으로부터 온 하나의 비트는 사분면 안에서의 위치를 결정하는 역할을 한다.

III. DVB-S2 BC모드의 수신성능 분석

DVB-S2 BC 모드를 위한 비균등 8-PSK 전송신호에 대한 복호방식으로는 LSB에서 MSB 순으로 복호하는 일반적인 방식과 사분면 추정지수와 LLR 계산기를 이용한 계층적 복호방식이 있다. 이 두 방식에 대한 LP 스트림의 통계적 성능을 분석하였다.

1. 일반적 복호방식

이 방식은 계층적 8-PSK 변조신호를 LSB에서 MSB 순으로 복조한다. (그림 3)과 같이 송신된 심볼의 I/Q값의 크기를 비교하여 LSB를 복호하며, I/Q 값을 문턱값 0과 비교하

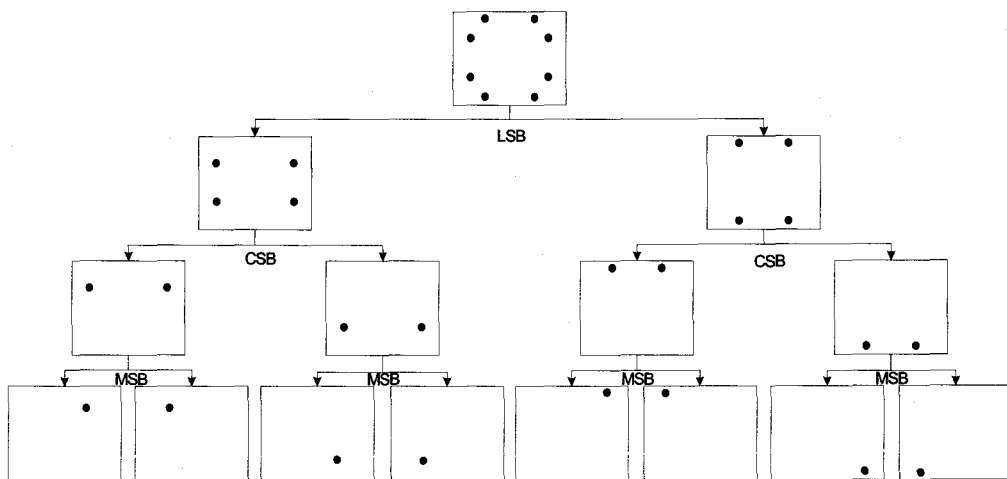


그림 3. 일반적 복호기
Fig. 3. General demodulator

여각각 CSB와 MSB 순으로 복호를 수행하는 방식이다.^[5] AWGN 환경에서 일반적 복호방식의 LP 스트림의 통계적 성능을 알아보기 위하여 위상의 확률밀도를 유도하였다. 신호와 잡음의 합에 대한 포락선과 위상을 $R(t)$ 와 $\Theta(t)$ 라 하면 랜덤 변수 R 과 Θ 의 결합 밀도는 식(1)과 같다.^[7]

$$f_{R,\Theta}(r, \theta) = \frac{u(r)r}{2\pi\sigma^2} \exp\left\{-\frac{1}{2\sigma^2}\left[r^2 - 2rA_0 \cos(\theta - \theta_0) + A_0^2\right]\right\} \quad (1)$$

위상 Θ 에 대한 확률밀도함수는 R 의 모든 값에 대하여 식(1)을 적분하여 유도할 수 있다.

$$f_\Theta(\theta) = \int_{-\infty}^{\infty} f_{R,\Theta}(r, \theta) dr \\ = \frac{1}{2\pi\sigma^2} e^{-A_0^2/2\sigma^2} \int_{-\infty}^{\infty} u(r) r e^{-[r^2 - 2rA_0 \cos(\theta - \theta_0)]/2\sigma^2} dr \quad (2)$$

최종적으로 구하는 확률밀도 분포는 식(3)과 같다.

$$f_\Theta(\theta) = \frac{1}{2\pi} \exp(-A_0^2/2\sigma^2) + \frac{A_0 \cos(\theta - \theta_0)}{\sqrt{2\pi}\sigma} \exp\left(\frac{-A_0^2 \sin^2(\theta - \theta_0)}{2\sigma^2}\right) \\ \left(1 - \frac{1}{2} \operatorname{erfc}[A_0 \cos(\theta - \theta_0)/\sqrt{2}\sigma]\right) \quad (3)$$

일반적인 복호기에서 송신 신호가 1사분면의 편각 θ 를 갖는 신호일 때, 수신신호의 I/Q 값의 절대값을 비교하여 LP

스트림에 대한 오류영역 분포를 (그림 4)의 빛금친 부분과 같이 나타낼 수 있으며, 이에 대한 오류확률은 식(4)와 같다.

$$P_B = \int_{3\pi/4}^{5\pi/4} f_\Theta(\theta) d\theta + \int_{-\pi/4}^{\pi/4} f_\Theta(\theta) d\theta \quad (4)$$

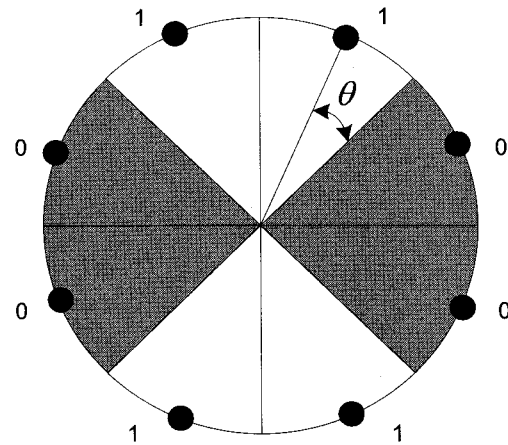


그림 4. 일반적인 복호기의 오류영역
Fig. 4. Error region for general demodulator

2. 계층적 복호방식

계층적 복호기^[3]는 (그림 5)와 같이 수신신호를 상층에서

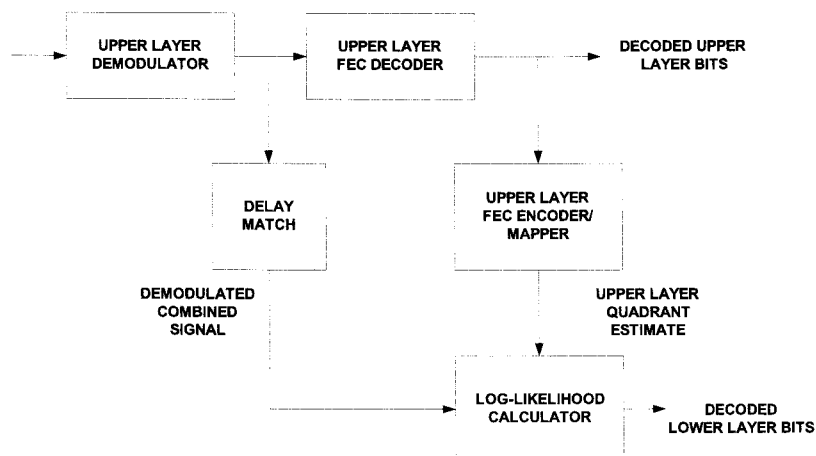


그림 5. 계층적 복호기
Fig. 5. Hierarchical demodulator

DVB-S 방식을 통해서 복조하고 복조된 신호는 상층 채널 복호화기를 통하여 상층비트로 복호화된다. 하층에서는 상층의 복조/복호화된 신호에 재부호화/재맵핑을 적용하여 수신된 심볼의 사분면을 추정한다. 추정된 사분면 값에 기초하여, 전송된 심볼의 값이 두 가지 중에서 한가지로 결정된다. 상층 복조신호는 재부호화/재맵핑된 신호와의 정합을 위하여 지연된다. 하층에서는 지연된 상층복조신호가 BPSK 성상도에 기초하여 LLR 계산을 수행하여 복조된다.

비균등 8-PSK의 LSB 비트를 결정하기 위해서는 다음과 같이 LLR을 계산하여 문턱값과 비교하여야 한다. 8개의 성상도에 대한 수신된 심볼의 LLR 값은 식(5)와 같이 계산된다.^[6]

$$LLR(I, Q) = \ln \left(\frac{\sum_{i=0, odd}^7 e^{-(E_s/N_o)d_i^2}}{\sum_{i=0, even}^7 e^{-(E_s/N_o)d_i^2}} \right) \quad (5)$$

d_i 는 성상도 상의 i번째 심볼 (I, Q)포인트와 수신된 심볼 사이의 거리이며, E_s 는 수신된 신호의 심볼 에너지를 나타낸다. 그리고 N_o 는 잡음 전력밀도를 나타낸다. 상층 사분면 지수값을 추정할 수 있으므로 LLR 계산은 다음과 같으며, 간단히 하면 식(6)과 같다.

$$\begin{aligned} LLR(I, Q) &= \ln \left(\frac{e^{-(E_s/N_o)d_{2i+1}^2}}{e^{-(E_s/N_o)d_{2i}^2}} \right) \\ &= (E_s/N_o)(d_{2i}^2 - d_{2i+1}^2) \end{aligned} \quad (6)$$

계층적 복호기에서 1사분면의 편각 θ 를 갖는 신호가 전송되었을 때, 사분면 추정 지수를 이용하여 수신신호와의 거리를 비교함으로서 LP 스트림에 대한 오류 영역 분포를 (그림 6)의 빛금친 부분과 같이 나타낼 수 있으며, 이에 대한 오류확률은 식(7)과 같다.

$$P_B = \int_{-\pi/4}^{\pi/4} f_\Theta(\theta) d\theta \quad (7)$$

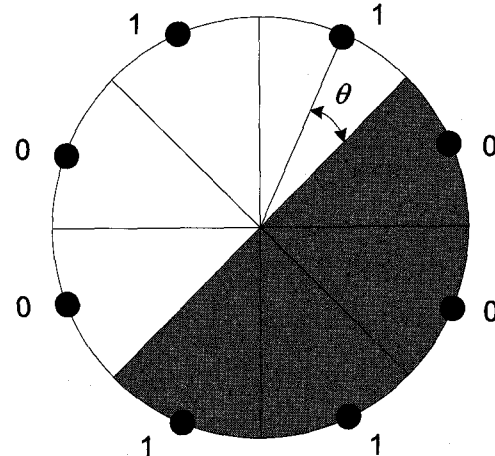


그림 6. 계층적 복호기의 오류영역
Fig. 6. Error region for the hierarchical demodulator

3. 통계적인 분석에 의한 수신성능 분석

두 복호기에서 E_b/N_o 및 θ 에 따른 통계적 성능을 살펴보면 (그림 7)과 같고, (그림 8)은 두 방식의 성능차를 보여주기 위하여 E_b/N_o 의 범위를 0~4dB로 한정하였다.

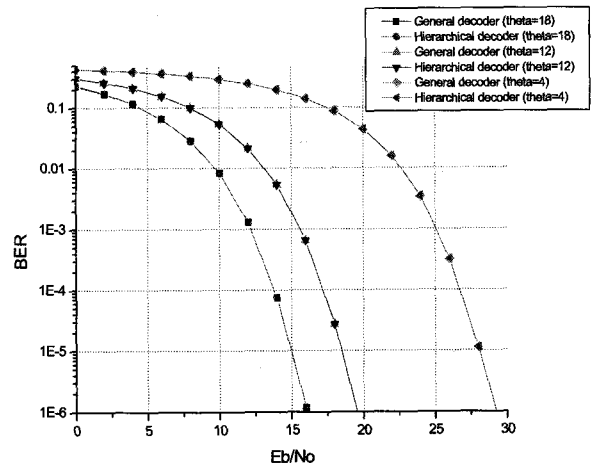


그림 7. 통계적 분석에 의한 LP 스트림의 수신성능
Fig. 7. Receiving performance for LP stream by statistical analysis

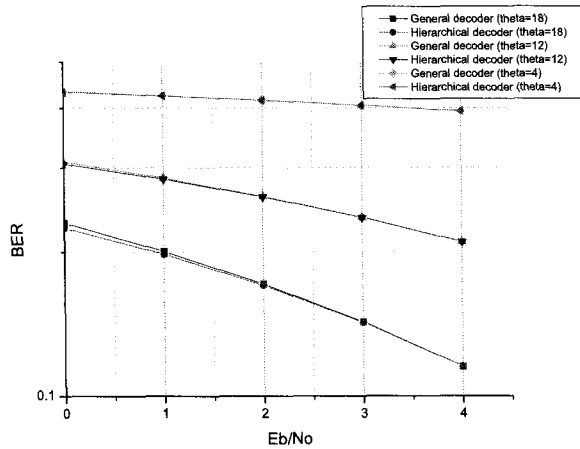


그림 8. 확대한 통계적 분석에 의한 LP 스트림의 통계적 수신성능(0~4dB)
Fig. 8. Magnified statistical receiving performance for LP stream

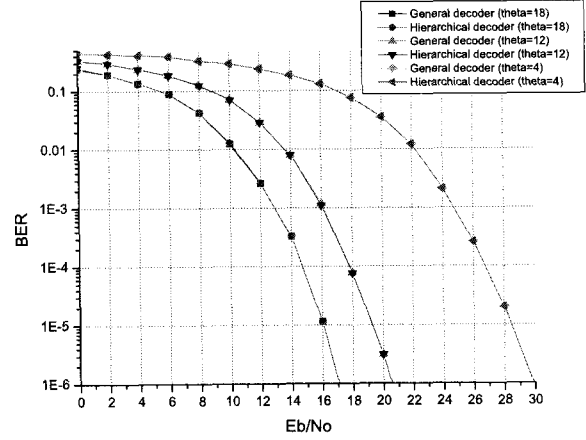


그림 9. 복호방식에 따른 LP 스트림의 수신성능
Fig. 9. Receiving performance of LP stream according to demodulation schemes

IV. 모의실험 결과

1. AWGN 채널에서의 모의실험

일반적인 복호기와 계층적 복호기의 성능을 비교하기 위하여 *System View™*를 이용하여 모의실험을 하였다. 모의실험은 AWGN 환경에서 이루어 졌으며, 일반적 복호기와 계층적 복호기에서 LP 스트림의 성능을 비교하였다. 또한 계층적 복호기에서 편각(θ)에 따라 2×10^{-4} 의 BER을 만족하는 C/N을 측정하기 위하여, HP 스트림에 Reed-Solomon과 길쌈 채널부호화를 적용하였으며, LP 스트림은 BCH와 LDPC 채널부호화를 고려하여 QEF를 만족하는 C/N을 계산하였다.

(그림 9)는 AWGN 채널에서의 일반적 복조기와 계층적 복조기의 성능을 나타내며, 복조기에 따른 성능차이가 거의 없어 Eb/N0값을 0~4dB까지만 한정한 결과, (그림 10)과 같이 일부 편각에 대해서 계층적 복호기의 성능이 미세하게 우수함을 알 수 있었다. 편각이 작아질수록 심볼거리가 작아지기 때문에 잡음강인성이 줄어듦을 알 수 있다. (그림 11)은 편각에 따른 요구 C/N값을 나타내며, HP 스트림과 LP 스트림이 만나는 지점의 편각을 사용할 때 전체 스트림의 수신성능이 최대가 됨을 알 수 있다.

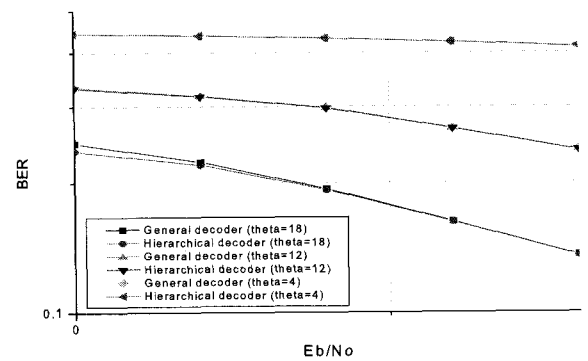


그림 10. 확대한 복호방식에 따른 LP 스트림 성능(0~4dB)
Fig. 10. Magnified receiving performance of LP stream according to demodulation schemes

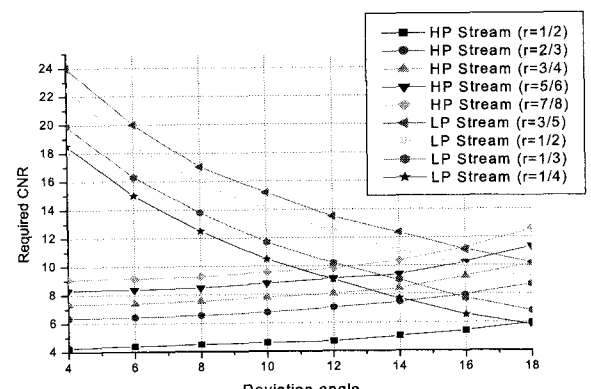


그림 11. 편각에 따른 요구 C/N
Fig. 11. The required C/N versus deviation angle

2. 비선형 채널에서의 모의실험

위성의 탑재물 장비인 TWTA는 비선형 특성을 가진다. 위성통신에서는 전력 증폭기에 의한 비선형특성을 고려한 AWGN 채널로써 채널 모델링을 한다. 이론적인 증폭기의 입출력 특성은 거의 선형 계수를 가지지만 실제로는, 특히 고출력의 경우에 출력 전압이 입력 신호의 진폭에 비례하여 변화하지 않는다. 이는 신호의 위상에도 마찬가지의 비선형성을 볼 수 있다. 위성의 전력 증폭기로 들어오는 신호의 진폭과 위상을 비선형적으로 증폭시키는 특징은 일반적으로 AM/AM (amplitude to amplitude), AM/PM(amplitude to phase) 전달 특성이 있다. 전력 증폭기의 입력 신호를 식(8)과 같다고 하면,

$$x(t) = r(t) \cos[\omega_0 t + \psi(t)] \quad (8)$$

여기서 ω_0 는 반송파 주파수, $r(t)$ 와 $\psi(t)$ 는 포락선과 위상을 나타낸다. 진폭-위상 모델에서, 입력 신호에 대한 출력은 식(9)과 같다.

$$y(t) = A[r(t)] \cos\{\omega_0 t + \psi(t) + \Phi[r(t)]\} \quad (9)$$

식(10)에서, $A(r)$ 은 r의 우함수(AM/AM 변환), $\Phi(r)$ 는 r의 기함수(AM/PM 변환)이다.

$$\begin{aligned} A(r) &= \alpha_a r / (1 + \beta_a r^2) \\ \Phi(r) &= \alpha_\phi r^2 / (1 + \beta_\phi r^2) \end{aligned} \quad (10)$$

여기서 각 방정식의 파라미터는 식(11)의 Berman과 Mahle의 파라미터를 사용했으며 특성은 (그림 12)과 같다.^[8]

$$\begin{aligned} \alpha_a &= 1.9638 & \beta_a &= 0.9945 \\ \alpha_\phi &= 2.5293 & \beta_\phi &= 2.8168 \end{aligned} \quad (11)$$

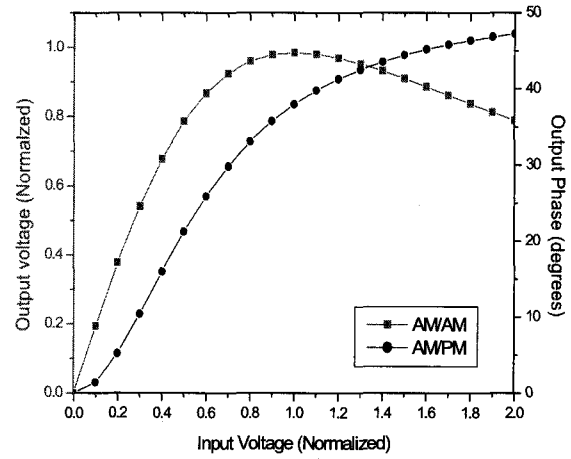


그림 12. TWTA AM/AM, AM/PM 특성

Fig. 12. TWTA AM/AM, AM/PM characteristics

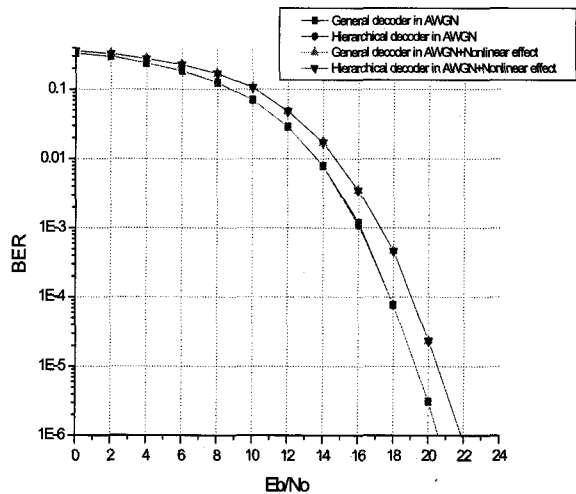


그림 13. 비선형 채널에서 LP 수신성능($\theta = 12^\circ$)

Fig. 13. LP receiving performance under nonlinear channel($\theta = 12^\circ$)

(그림 13)은 편각($\theta = 12^\circ$)에서 두 복호방식의 모의실험 결과를 보여주며, (그림 14)는 E_b/N_0 의 범위를 0~4dB로 한정하여 (그림 13)을 확대한 결과이다. (그림 14)에 의하면, 계층적 복호기의 성능향상이 AWGN채널보다 비선형채널인 경우에 우수함을 알 수 있다.

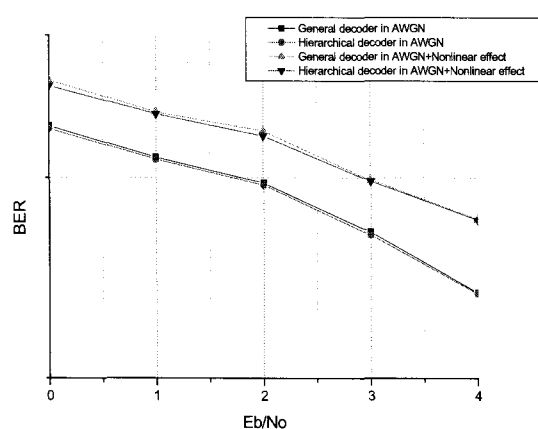


그림 14. 비선형 채널에서 확대한 LP 수신성능($\theta=12^\circ$, 0~4dB)
Fig. 14. Magnified LP receiving performance under nonlinear channel ($\theta=12^\circ$)

V. 위성방송 환경에 적합한 LP/HP 스트림 비율 분석 및 제시

(표 1)은 HP와 LP 스트림에 여러 가지 부호율에 FEC를 적용했을 때, LP 스트림과 HP 스트림의 순수 데이터 비트율의 비(%)를 나타낸다. LP 스트림의 전송 용량은 HP 스트림의 약 15%부터 65%까지 변할 수 있다. 이 절에서는 서비스 가용도에 따른 LP/HP 스트림 비율을 분석하고 제시하였다.

표 1 (LP bit-rate/HP bit-rate) × 100(%)
Table 1. (LP bit-rate/HP bit-rate) × 100(%)

DVB-S Coding(HP)	DVB-S2 Coding(LP)			
	1/4	1/3	1/2	3/5
1/2	26.6	35.7	53.7	64.6
2/3	20.0	26.7	40.3	48.4
3/4	17.8	23.8	35.8	43.0
5/6	16.0	21.4	32.2	38.7
7/8	15.2	20.4	30.7	36.9

1. HP와 LP가 동등한 서비스 가용도를 갖는 경우

(그림 11)에서 HP 부호율이 1/2일 때에는 LP 부호율이

1/4일 경우에만 동등한 성능을 갖는 편각이 있으며, HP 부호율이 2/3일 때에는 LP 부호율이 1/4, 1/3에서 동등한 성능을 갖는 편각이 있다. 또한 HP 부호율이 3/4일 때에는 LP 부호율이 1/4, 1/3, 1/2일 경우에 동등한 성능을 갖는 편각이 있으며, HP 부호율이 5/6과 7/8에서는 모든 경우의 LP 부호율에서 동등한 성능을 갖는 편각이 있다. 즉 (표 1)에서 볼드체로된 LP/HP 데이터 비율이 동등한 가용도를 갖을 수 있는 경우이다. (표 1)과 (그림 11)에서 HP 부호율을 고정하고 LP/HP의 데이터 비율이 증가 시키면 QEF를 만족하기 위한 요구 CNR값은 증가하는 반면에, LP 부호율을 고정하고 LP/HP 데이터 비율을 증가시키면 QEF를 만족하기 위한 요구 CNR값은 감소하게 된다. 그러므로 서비스 가용도가 동일할 경우에 최적의 LP/HP 데이터 비율은 (표 1)의 볼드체로 표시된 비율이며, (그림 11)에서와 같이 부호율에 따른 곡선에서 편각 11도에서 18도 사이에서 교차되는 각도에 존재한다.

2. HP와 LP가 다른 서비스 가용도를 갖는 경우

이 경우는 기본적으로 HP 서비스 가용도가 높은 경우를 의미한다. (그림 11)에서 HP 부호율과 LP 부호율이 교차되는 지점 이하의 편각에서 HP 서비스의 가용도가 높으며, (표 1)에서 볼드체로 되지 않은 경우의 비율에서는 편각에 상관없이 HP 서비스의 가용도가 높은 경우이다.

VI. 결 론

이 논문에서는 DVB-S2 BC 모드 수신을 위한 일반적 복호기와 계층적 복호기의 수신성능을 모의실험을 통하여 분석하였다. 분석결과에 의하면 AWGN 및 비선형 환경에서 계층적 복호기가 일반적 복호기에 비교하여 낮은 E_b/N_0 에서 다소 향상된 성능을 보였으나, 전체적인 성능차이는 미비하여 BC 모드 수신기에는 복잡성이 없는 일반적 복호기의 사용이 적절할 것으로 사료된다. 향후에는 위 결과를 바탕으로 DVB-S2 BC 모드 수신 향상을 위한 수신신호처리를 연구할 것이다.

참 고 문 헌

- [1] DVB, "Framing structure, channel coding and modulation for 11/12 GHz satellite services", EN 300 421 V1.1.2, August 1997.
- [2] DVB, "Framing structure, channel coding and modulation for Digital Satellite News Gathering (DSNG) and other contribution applications by satellite," EN 301 210 V1.1.1, March 1999.
- [3] Ernest Chen, Joshua L. Koslov, Vittoria Mignone, and Joseph Santoru, "DVB-S2 backward compatible modes: a bridge between the present and the future", Int. J. Satell. Commun. Network, vol. 22, pp. 341-365 , 2004.
- [4] DVB, "Second Generation framing structure, channel coding and modulation system for Broadcasting, Interactive Services, News Gathering and other broadband satellite applications," ETSI DVBS2-74r13, Sept., 2003.
- [5] W.H.Thesling, F.Xing and M.J.Vanderaar, "Practical 8-PSK block-coded modulation with convolutional codes and soft decision block codes for packet networks", IEE Proc. Commu., Vol. 145, No. 4, pp. 218-226, August 1998.
- [6] DVB, "Framing structure, channel coding and modulation for digital terrestrial television", Final draft ETSI EN 300 744 V1.5.1 (2004-06).
- [7] Peyton Z. Peebles, Jr., "Probability, Random Variable and Random Signal Principles", McGrawHill, pp. 398-401.
- [8] A. L. Bermon and C. H. Mahle, "Nonlinear phase shift in traveling-wave tubes as applied to multiple access communication satellites," IEEE Trans. Commun. technol., col. COM-18, pp. 37-48, FEB. 1970.
- [9] E. Casini, R. De Gaudenzi and A. Ginesi, "DVB-S2 modem algorithms design and performance over typical satellite channels", Int. J. Satell. Commun. Network, vol. 22, pp. 281-318 2004.

저 자 소 개

도 근 창



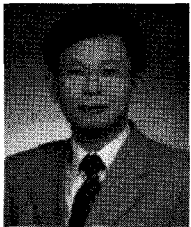
- 1996년 ~ 2003년 : 경희대학교 전파통신공학전공 졸업
- 2003년 ~ 2005년 : 경희대학교 일반대학원 전파공학과 졸업
- 2005년 ~ 현재 : 현 LG전자 홈네트사업팀 연구개발그룹 주임연구원으로 근무중
- 주관심분야 : 디지털 위성방송, 홈네트워크, ZigBee 무선 네트워크

손 원



- 1982년 2월 : 경북대학교 전자공학과 공학사
- 1990년 5월 : 텍사스 A&M대 전기공학과 공학석사
- 1993년 8월 : 텍사스 A&M대 전기 공학과 공학박사
- 1982년 1월 ~ 1987년 6월 : 국방과학연구소 연구원
- 1993년 9월 ~ 1999년 2월 : 한국전자통신연구원 팀장
- 1999년 3월 ~ 현재 : 경희대학교 전자정보학부 부교수
- 주관심분야 : 디지털방송, 신호처리

장 대 익 (Dae-Ig Chang)



- 1978년 ~ 1985년 : 한양대학교 공과대학 전자통신공학과 졸업 공학사
- 1987년 ~ 1989년 : 한양대학교 대학원 전자통신공학과 졸업 공학석사
- 1995년 ~ 1999년 : 충남대학교 대학원 전자공학과 졸업 공학박사
- 1990년 2월 ~ 현재 : 한국전자통신연구원 전파방송연구단 광대역무선멀티미디어연구팀 팀장
- 2005년 3월 ~ 현재 : 과학기술연합대학원대학교(UST) 이동통신및디지털방송공학전공 교수
- 1991년 6월 ~ 1993년 7월 : 캐나다 MPR Teltech 연구소 VSAT팀 연구원
- 주관심분야 : 위성통신시스템, 위성방송, 디지털통신, 디지털 변복조 등